

Cluster de cartes graphiques

École thématique
Calcul Haute Performance sur les accélérateurs matériels.
7-11 décembre 2009 – Banyuls sur Mer

Stéphane Vialle

SUPELEC équipe IMS & EPI AlGorille



Avec l'aide de L. Abbas-Turki, T. Jost , W. Kirshenmann, P. Mercier, S. Contassot-Vivier, L. Plagne

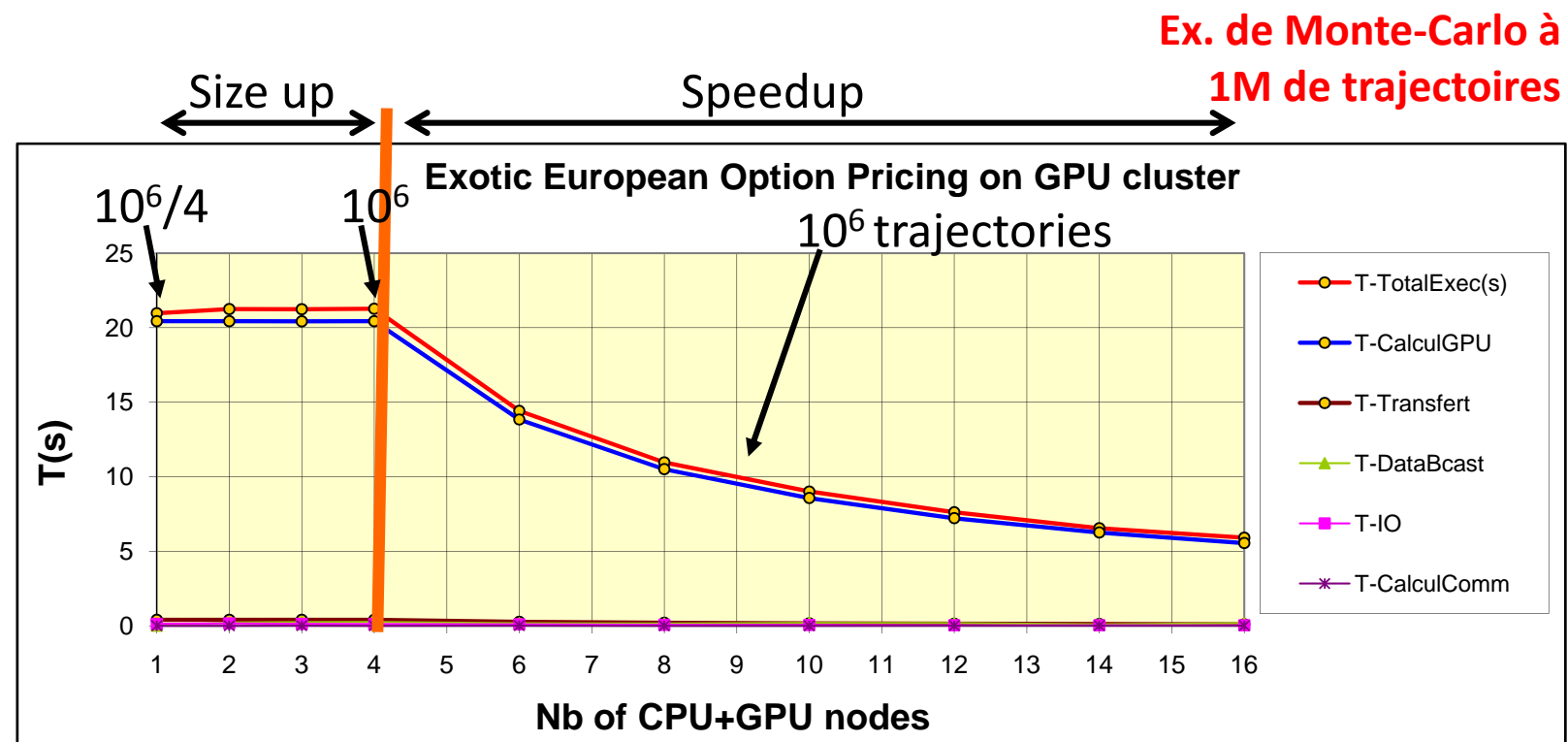
Plan

1. Principes de parallélisation sur cluster de CPU+GPU
2. Mécanismes de compilation
3. Ex 1 : application distribuée *embarrassingly parallel*
4. Ex 2 : application distribuée fortement couplée
5. Parallélisation simultanée sur CPUs et GPUs
6. Performances
7. Considérations énergétiques
8. Conclusion

Principes de parallélisation sur cluster de CPU+GPU (1)

Un GPU permet d'aller plus vite mais possède une mémoire limitée (comparée à un CPU).

Nd GPU permettent d'aller encore plus vite (!) et de traiter un problème plus important :

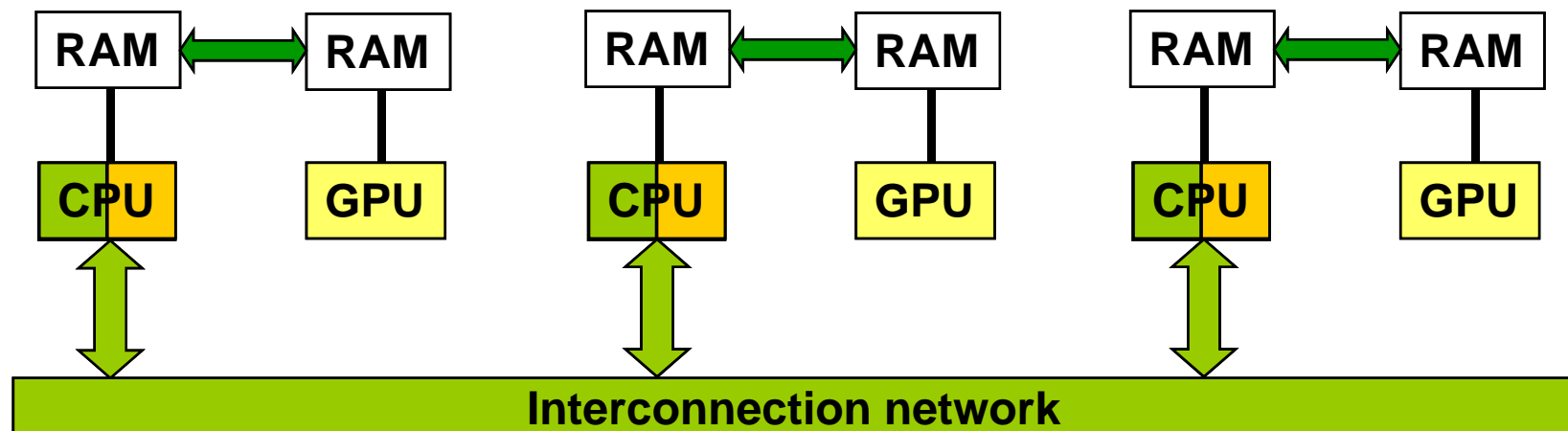


Principes de parallélisation sur cluster de CPU+GPU (2)

Un cluster de CPUs+GPUs est constitué :

- de CPUs multi-cœurs
- de GPUs (many-cœurs)
- d'un réseau d'interconnexion inter-nœuds
- de bus PCI-express pour les transferts entre CPU et GPU sur chaque nœud

Conceptuellement, tous ces composants peuvent fonctionner en parallèle...



Principes de parallélisation sur cluster de CPU+GPU (3)

Spécificités de la programmation des clusters de CPU+GPU (clusters hétérogènes) :

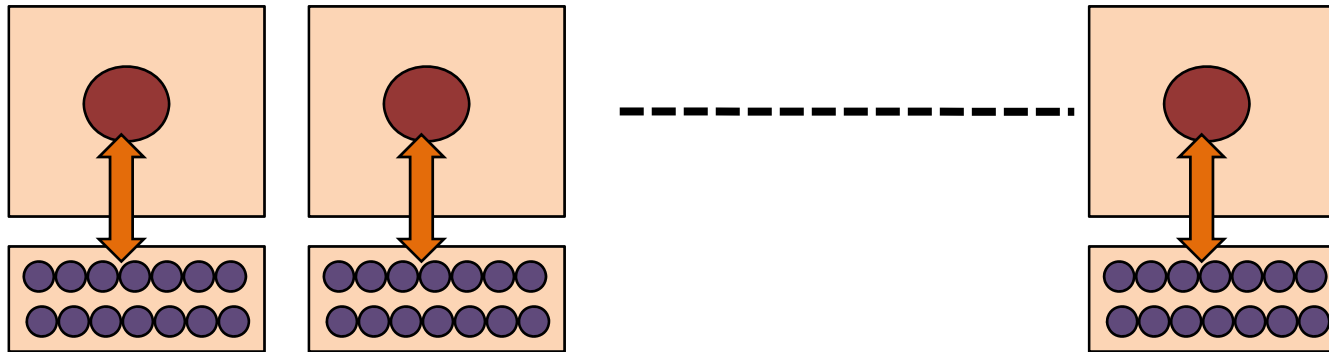
- multi-grains :
gros grain (cluster) + grain fin (GPU) ... + grain moyen (multi-cœurs CPU)
- multi-paradigms :
messages + threads GPU ... + threads CPU
- multi-outils de développement :
MPI + CUDA ... + OpenMP/IntelTBB/P-threads/...

... et donc :

- multi-bugs & multi-debugs
- multi-optimisations
- multi-surprises

Principes de parallélisation sur cluster de CPU+GPU (4)

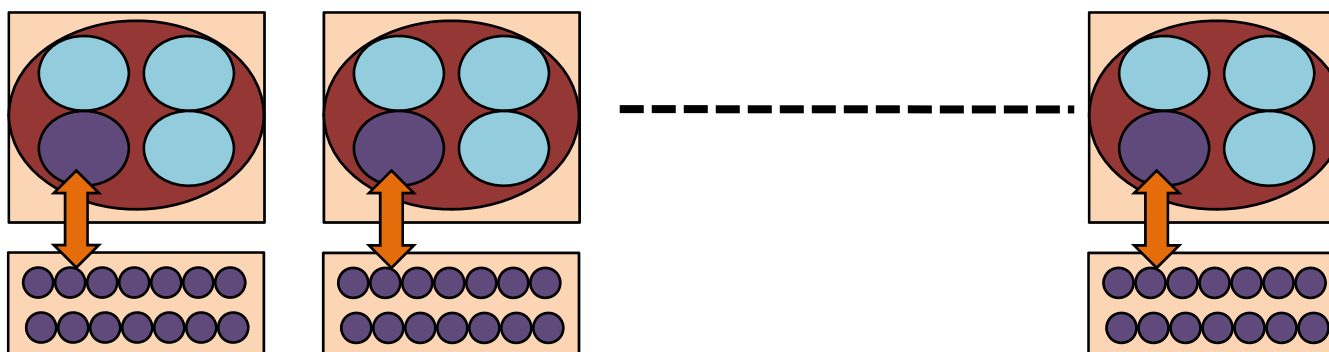
Cluster de CPU+GPUs :



Première approche :

- Gros grain + grain fin
- Envois de messages entre processus CPU
- Parallélisme de données entre threads GPU
- Transferts de données CPU-GPU

Cluster de CPU-multicoeurs+GPUs :



Deuxième approche :

- Gros grain + grain fin + grain moyen
- Envois de messages entre processus CPU
- Parallélisme de données entre threads GPU
- Transferts de données CPU-GPU

- Partage de mémoire entre threads CPU

Quelques difficultés algorithmiques

Cluster de CPUs – approche gros grain (processus et envois de messages)

1. Comment/où couper les calculs et les données ?
 2. Equilibrer la charge sur les nœuds
 3. Minimiser les communications
 4. Recouvrir les communications et les calculs
- + optimisations
sérielles

Cluster de CPUs – approche gros grain + grain moyen

5. Synchroniser les threads CPU pour l'accès aux données du nœud
6. Synchroniser les threads CPU avec les communications MPI
7. Eviter le *false sharing*

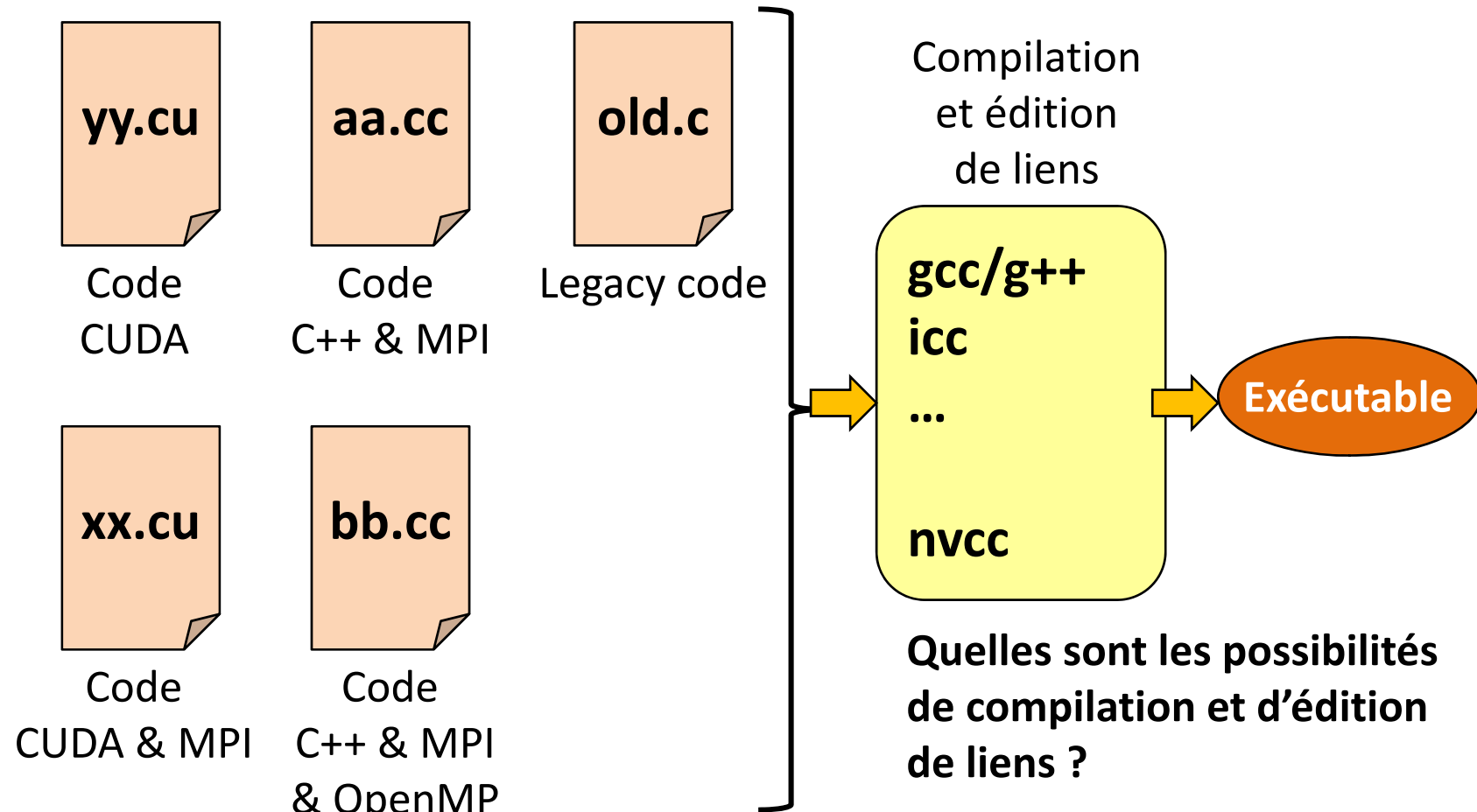
Cluster de GPUs – approche gros grain + grain fin

5. Minimiser les transferts CPU-GPU
6. Minimiser les accès à la RAM GPU globale – « réalisation du cache »
7. Réaliser des accès RAM globale « coalescent » (contigus et alignés)
8. Synchroniser les threads GPU
9. Synchroniser les threads GPU et les transferts CPU-GPU avec les communications MPI

Plan

1. Principes de parallélisation sur cluster de CPU+GPU
2. Mécanismes de compilation
3. Ex 1 : application distribuée *embarrassingly parallel*
4. Ex 2 : application distribuée fortement couplée
5. Parallélisation simultanée sur CPUs et GPUs
6. Performances
7. Considérations énergétiques
8. Conclusion

Quelques difficultés de compilation (1)



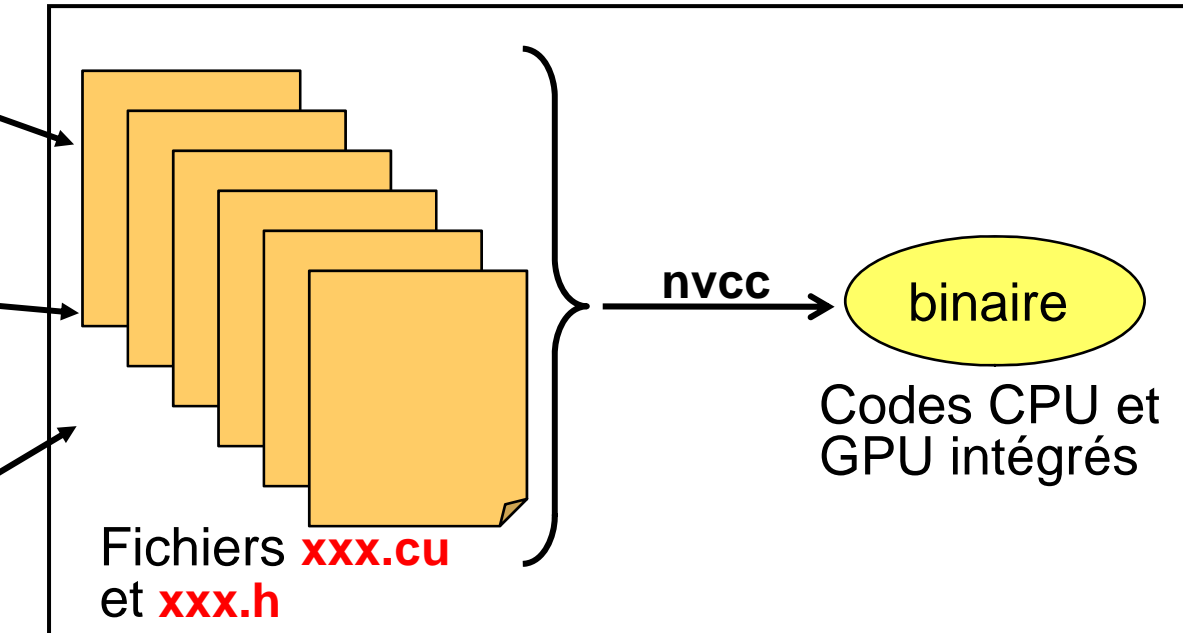
Quelques difficultés de compilation (2)

Compilation d'applications CUDA – entièrement développées en CUDA :

Définitions de variables
et fonctions avec
« qualificateurs » CUDA

Code C, ou C++ avec
fonctionnalités CUDA

Code C, ou C++
« standard »
avec routines MPI



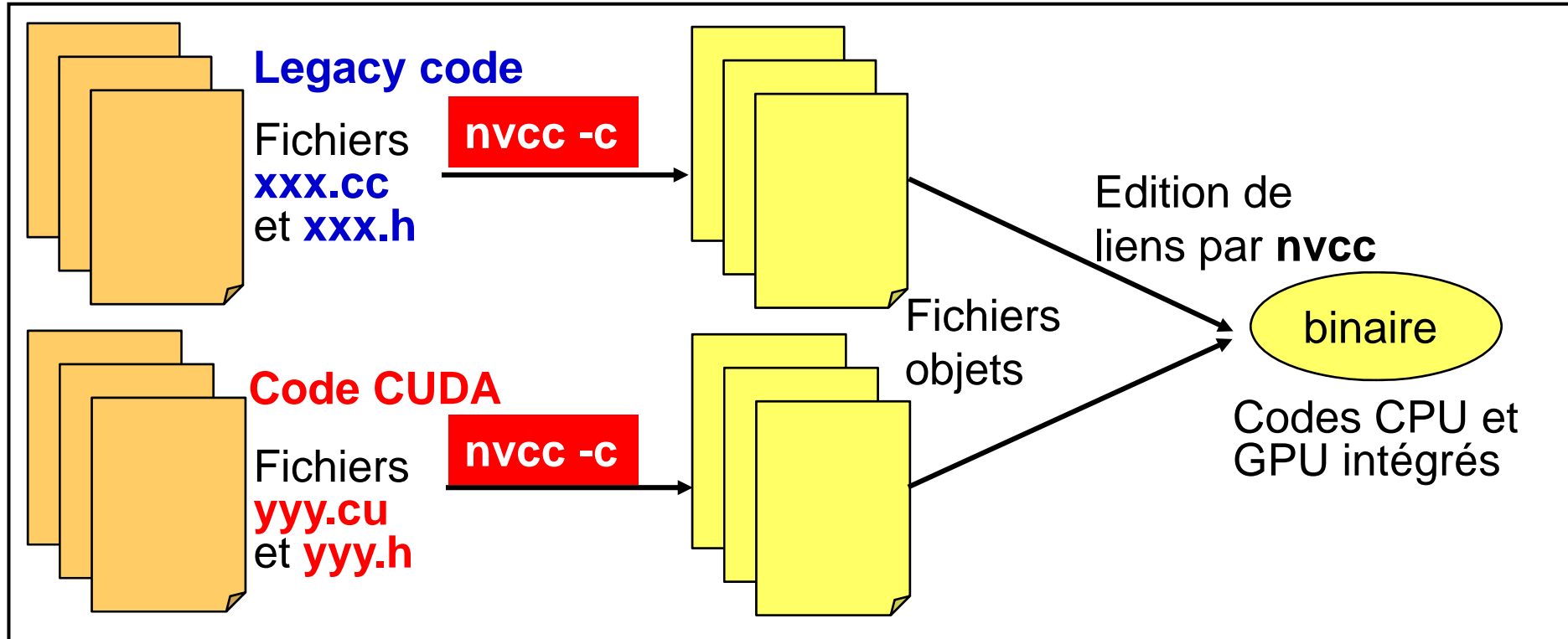
Pour les codes C/C++ simples :

- Il est possible de tout compiler en **nvcc** dans des fichiers **xxx.cu**
- Certaines fonctionnalités du compilateur « habituel » peuvent être absentes
- Les optimisations sérielles peuvent en souffrir...

Quelques difficultés de compilation (3)

Compilation d'applications CUDA – avec récupération de code C/C++ :

Solution – 1 :

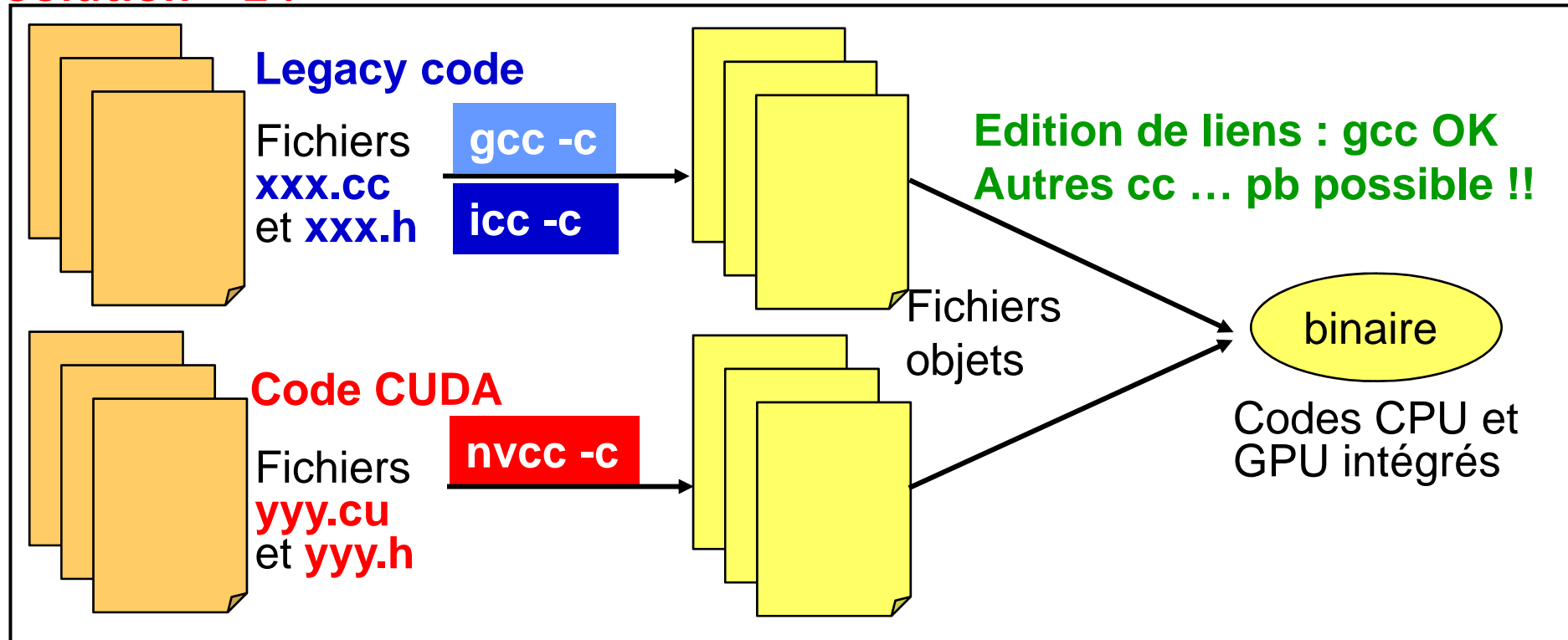


- Code C++ métier : fichiers .cc compilés en **nvcc** – pb de portage possible
- Code CUDA : fichiers .cu compilés en **nvcc**
- Edition de liens : fichiers .o traités à travers **nvcc**

Quelques difficultés de compilation (4)

Compilation d'applications CUDA – avec récupération de code C/C++ :

Solution – 2 :



- Code C++ métier : fichiers .cc compilés en **gcc/g++** ou en **icc** ou ...
- Code CUDA : fichiers .cu compilés en **nvcc**
- Edition de liens : des pbs de nommage peuvent apparaître (mais pas en **gcc**)

Quelques difficultés de compilation (5)

Exemple de Makefile :

```
CXX = mpicxx
GPUC=nvcc
CXXFLAGS = -O3 -DOMPI_SKIP_MPICXX -I/opt/openmpi/include/
CC_CXXFLAGS = -fopenmp
CUDA_CXXFLAGS =
CC_LDFLAGS = -fopenmp -L/opt/openmpi/lib
CUDA_LDFLAGS = -L/opt/cuda/lib64/
CUDA_LIBS = -lcudart

CC_SOURCES = jacobi.cc jacobi-io.cc jacobi-cpu-computation.cc jacobi-cpu-communication.cc
CUDA_SOURCES = jacobi-gpu-computation.cu jacobi-gpu-communication.cu
CC_OBJECTS = $(CC_SOURCES:.cc=.o)
CUDA_OBJECTS = $(CUDA_SOURCES:.cu=.o)
EXECNAME = jacobi

all: $(CC_OBJECTS) $(CUDA_OBJECTS)
      $(CXX) -o $(EXECNAME) $(CC_LDFLAGS) $(CUDA_LDFLAGS) $(CC_OBJECTS)
      $(CUDA_OBJECTS) $(CUDA_LIBS)

#Regles automatiques pour generer les objets
%.o: %.cc
      $(CXX) -c $(CXXFLAGS) $(CC_CXXFLAGS) $<
%.o: %.cu
      $(GPUC) -c $(CXXFLAGS) $(CUDA_CXXFLAGS) $<
```

Évite les mécanismes de gestion des exceptions implantés dans la norme MPI-2, et non supportés par nvcc ("*tells MPI not to include the C++ header files*").

Plan

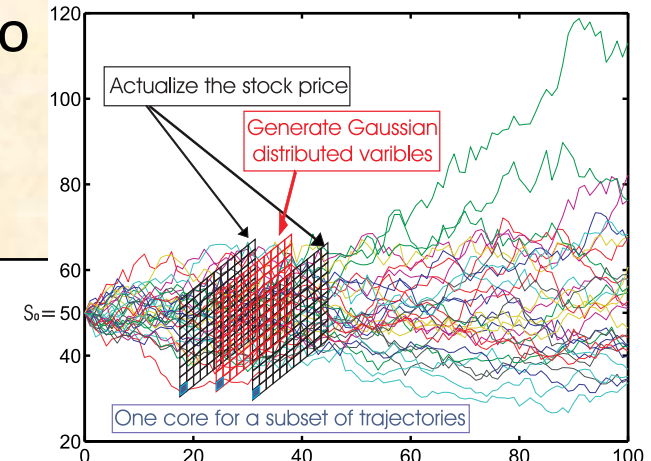
1. Principes de parallélisation sur cluster de CPU+GPU
2. Mécanismes de compilation
3. Ex 1 : application distribuée *embarrassingly parallel*
4. Ex 2 : application distribuée fortement couplée
5. Parallélisation simultanée sur CPUs et GPUs
6. Performances
7. Considérations énergétiques
8. Conclusion

Ex 1 : application distribuée faiblement couplée

Final objective:

Pricer d'options Européenne exotiques à grande vitesse (for hedging)

- calculant des trajectoires de Monte-Carlo
- utilisant un cluster de CPU multi-cœurs ou de GPU many-cœurs



Difficultés :

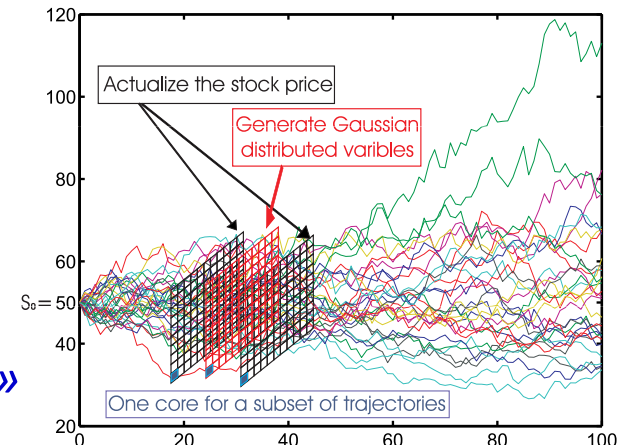
- Concevoir un algo parallèle gros-grain + grain moyen/grain fin
- Concevoir et planter un générateur parallèle de nombres aléatoires **rigoureux et rapide**
- Evaluer les développements en termes de speedup, size up, précision, et consommation énergétique

Ex 1 : application distribuée faiblement couplée

Tirage des nombres aléatoires :

- « vite »
- de bonne qualité
- en parallèle
 - Risque de mauvaise qualité de la suite globale

« Ce n'est pas en faisant n'importe quoi que c'est aléatoire »



On génère des générateurs de nombres aléatoires en veillant :

- à ce qu'ils soient indépendants (génèrent des suites aléatoires différentes)
- à ce qu'ils puissent s'exécuter en parallèle (indépendamment les uns des autres)

On porte ces RNG sur GPUs :

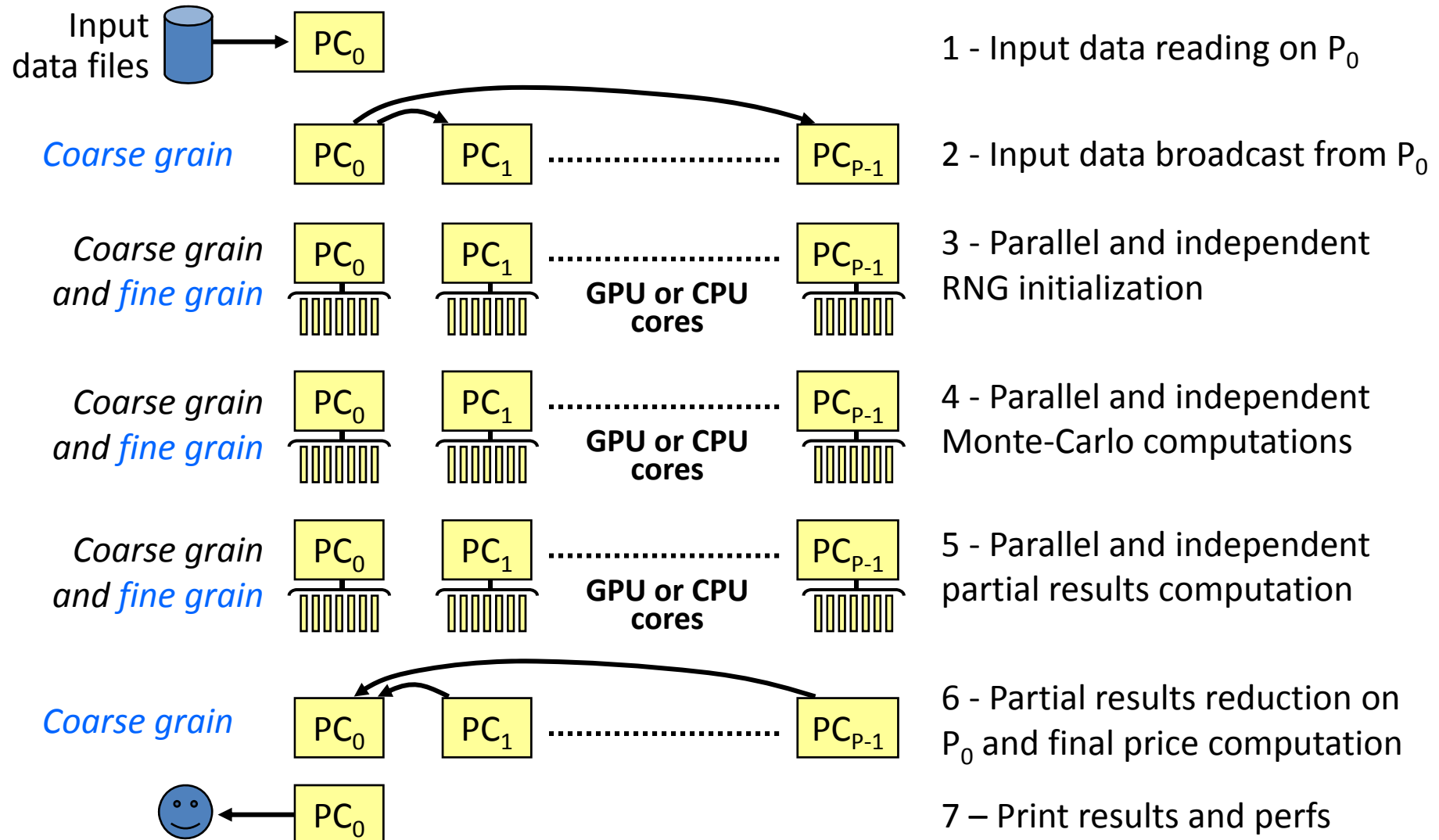
- pour rester sur le GPU pour tirer les nombres aléatoires
(éviter de tirer les nombres aléatoires sur le CPU quand on utilise un CPU)

On teste différents RNG :

- de « qualités » différentes
- plus ou moins rapides

Ex 1 : application distribuée faiblement couplée

Algorithme parallèle :



Ex 1 : application distribuée faiblement couplée

MPI+OpenMP : calculs sur un nœud CPU multi-cœurs du cluster

```
void ActStock(double sqrtdt)
{
    int StkIdx, yIdx, xIdx;          // Loop indexes
    #pragma omp parallel private(StkIdx,yIdx,xIdx)
    {
        for (StkIdx = 0; StkIdx < NbStocks; StkIdx++) {
            Parameters_t *parPt = &par[StkIdx];
            // Process each trajectory
            #pragma omp for
            for (yIdx = 0; yIdx < Ny; yIdx++)
                for (xIdx = 0; xIdx < Nx; xIdx++) {
                    float call;
                    // - First pass
                    call = .....;           // Calculs utilisant le RNG sur CPU
                    // - The passes that remain
                    for (int stock = 1; stock <= StkIdx ; stock++)
                        call = .....;       // Calculs utilisant le RNG sur CPU
                    // Copy result in the global GPU memory
                    TabStockCPU[StkIdx][yIdx][xIdx] = call;
                }
            }
        }
    }
```

Ex 1 : application distribuée faiblement couplée

MPI+CUDA : un thread GPU traite une trajectoire

```
__global__ void Actual_kernel(void)
{
    float call, callBis;
    // Computes the indexes and copy data into multipro sh. memory
    int xIdx = threadIdx.x + blockIdx.x*BlockSizeX;
    int yIdx = blockIdx.y;
    __shared__ float InputLine[Nx];
    __shared__ float BrownLine[Nx];
    InputLine[xIdx] = TabStockInputGPU[StkIdx][yIdx][xIdx];
    GaussLine[xIdx] = TabGaussGPU[0][yIdx][xIdx];

    // First pass
    call = .....;                                // Calculs utilisant le RNG sur GPU
    callBis = call;
    // The passes that remain
    for (int stock = 1; stock <= StkIdx; stock++) {
        GaussLine[xIdx] = TabGaussGPU[stock][yIdx][xIdx];
        call = callBis*.....;                      // Calculs utilisant le RNG sur GPU
        callBis = call;
    }
    // Copy result in the global GPU memory
    TabStockOutputGPU[StkIdx][yIdx][xIdx] = call;
}
```

Ex 1 : application distribuée faiblement couplée

MPI+CUDA : exécution des threads GPU (un par trajectoire)

```
void ActStock(double sqrt dt)
{
    // GPU thread management variables
    dim3 Dg, Db;
    // Set thread Grid and blocks features
    Dg.x = Nx/BlockSizeX; Dg.y = Ny; Dg.z = 1;
    Db.x = BlockSizeX; Db.y = 1; Db.z = 1;
    // Transfer a float version of the time increment on the GPU
    float sqrt dt CPU = (float) sqrt dt;
    cudaMemcpyToSymbol(sqrt dt GPU, &sqrt dt CPU, sizeof(float), 0,
                      cudaMemcpyHostToDevice);

    // For each stock: transfer its index on the GPU and compute
    // its actualization (process all trajectories)
    for (int s = 0; s < Nb Stocks; s++) {
        cudaMemcpyToSymbol(StkIdx, &s, sizeof(int), 0,
                          cudaMemcpyHostToDevice);
        Actual_kernel<<<Dg,Db>>>(); //Run the GPU computation
    }
}
```

Ex 1 : application distribuée faiblement couplée

MPI : routine principale

```
// MPI and appli inits
MPI_Init(&argc, &argv);
MPI_Comm_size(MPI_COMM_WORLD, &NbPE);
MPI_Comm_rank(MPI_COMM_WORLD, &Me);
ParseInit(argc, argv);
if (Me == 0) { InitStockParaCPU(); }
BroadcastInputData(); ←

// Application computations: use the multicore CPU ou GPU
PostInitData(Me, NbPE);
AsianSum(dt, 0);
for (jj = 1; jj <= N; jj++) {
    for (k = 0; k < NbStocks; k++) {
        ComputeUniformRandom();
        GaussPRNG(k);
    }
    ActStock(dt);
    AsianSum(dt, jj);
}
ComputeIntegralSum();
ComputePriceSum();
ComputePayoffSum(&sum, &sum2); // - Ponderated sum of the average values
                                // - Ponderated sum of the stock prices
CollectByReduction(&sum, &sum2, &TotalSum, &TotalSum2); // - Compute the sum and square sum of the payoff

// - Final computations on PE-0
if (Me == 0) { ComputeFinalValues(&price, &error, TotalSum, TotalSum2, r, NbPE); }

MPI_Finalize();
```

Pas d'impact d'OpenMP
Pas d'impact de CUDA

Synchronisation légère des process
MPI et des threads de calcul (CPU ou GPU)

// - time step loop
// - stock loop
// + generation of uniform random numbers
// + turn uniform random nb to Gaussian random nb

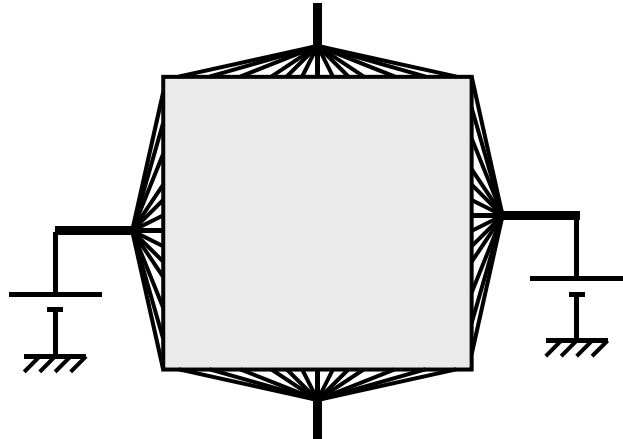
// - compute the next stock value
// - compute the "average value of the stock" on each trajectory

// - Ponderated sum of the average values
// - Ponderated sum of the stock prices
// - Compute the sum and square sum of the payoff

Plan

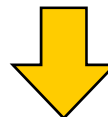
1. Principes de parallélisation sur cluster de CPU+GPU
2. Mécanismes de compilation
3. Ex 1 : application distribuée *embarrassingly parallel*
4. Ex 2 : application distribuée fortement couplée
5. Parallélisation simultanée sur CPUs et GPUs
6. Performances
7. Considérations énergétiques
8. Conclusion

Ex 2 : application distribuée fortement couplée

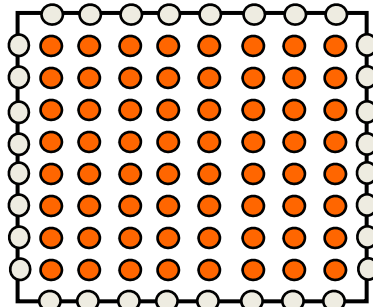


Calcul des lignes de potentiel dans une plaque diélectrique :

$$\frac{\partial^2 V}{\partial x^2} + \frac{\partial^2 V}{\partial y^2} = 0$$



- Discrétisation et équation aux différences
- Itération jusqu'à la convergence ($V^{n+1}_{i,j} - V^n_{i,j} < \varepsilon$)



- Condition aux limites : V fixé

$$V^{n+1}_{i,j} = \frac{V^n_{i-1,j} + V^n_{i+1,j} + V^n_{i,j-1} + V^n_{i,j+1}}{4}$$

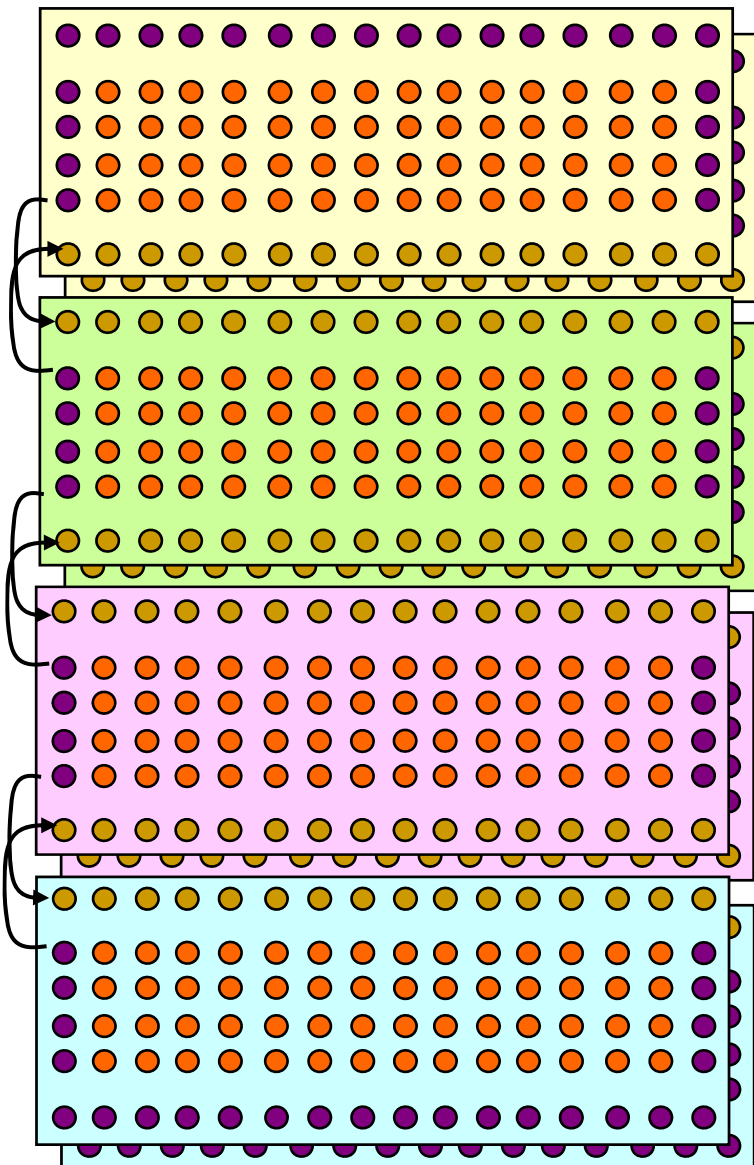
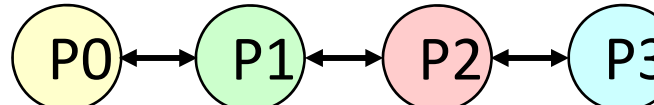


Ex 2 : application distribuée fortement couplée

Parallélisation sur cluster par envoi de messages entre les nœuds de calcul :

- Partitionnement spatial des données et échange des frontières
- 2 extraits de tables (V^n et V^{n+1}) dans chaque mémoire locale + les frontières
- Parallélisation de la boucle sur les lignes de la grille

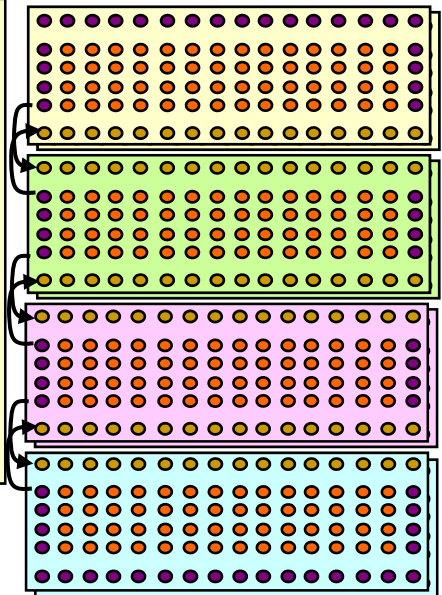
Ex : avec une ligne de 4 nœuds



Ex 2 : application distribuée fortement couplée

Algorithme exécuté sur chaque proc. :

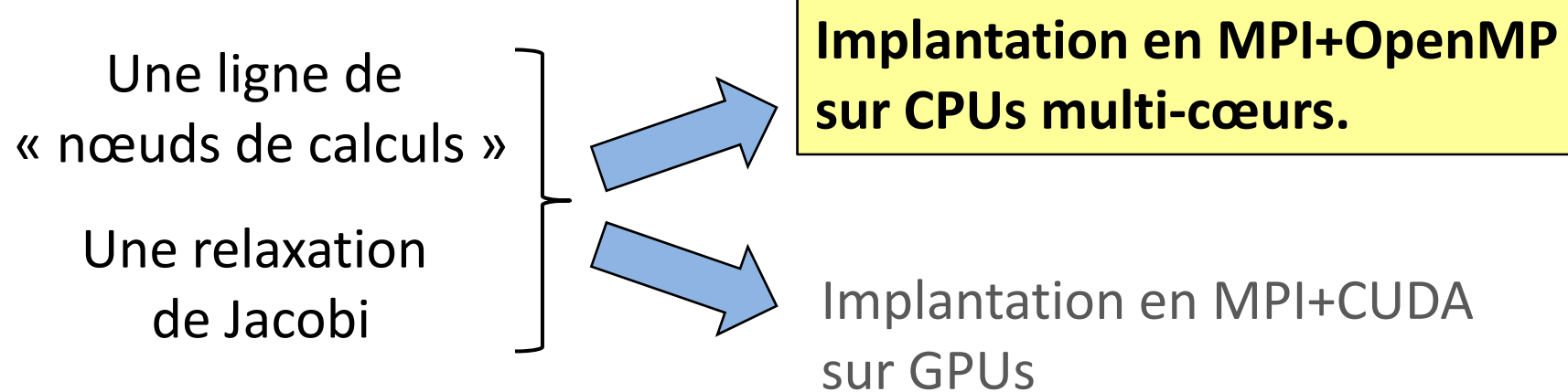
```
for (cycle = 0; cycle < NbCycle; cycle++) {  
    calcul_local();  
    //barriere();  
    echange_frontieres(); // Avec synchronisation  
                           // sur les comms.  
    //barriere();  
    permutation_indices_des_tables_Vn_et_Vnplus1();  
}
```



`Calcul_local()` :

- Nœud CPU mono-cœur : un process MPI
- Nœud CPU multi-cœurs : un process MPI + des threads OpenMP
- Nœud CPU+GPU : un process MPI + des threads GPU (+ des threads CPU pour les comms. asynchrones)

Ex. simple de code MPI+OpenMP (relax.)



Impact d'OpenMP sur le code MPI ?

Impact de CUDA sur le code MPI ?

Ex. simple de code MPI+OpenMP (relax.)

MPI+OpenMP : calculs sur un nœud CPU multi-cœurs du cluster

```
#pragma omp parallel private(cycle,i,j,OI,NI)
{
    OI = 0;
    NI = 1;

    for (cycle = 0; cycle < NbCycles; cycle++) {
        #pragma omp for
        for (i = 1; i <= USEFUL_SIDE_ROW; ++i) {          // - local grid computation
            for (j = 1; j <= USEFUL_SIDE_COL; ++j) {
                CPU_V[NI][i][j] = (CPU_V[OI][i-1][j] + CPU_V[OI][i+1][j] +
                                      CPU_V[OI][i][j-1] + CPU_V[OI][i][j+1]) / 4.0;
            }
        }

        #pragma omp single
        {
            (*cpuCommFctPt)(NI,cycle);                      // - MPI comms.
        }

        OI = NI;
        NI = 1-NI;
    }
}
```

Coordination des
threads OpenMP
et des comms. MPI

Ex. simple de code MPI+OpenMP (relax.)

MPI+OpenMP : Echange de frontières sur un anneau de CPU – v1-synchrone

```
if (Me == 0) {  
    MPI_Sendrecv(&CPU_V[idx][SIDE_ROW-2][0], SIDE_COL, MPI_FLOAT, Me+1, tag,  
                &CPU_V[idx][SIDE_ROW-1][0], SIDE_COL, MPI_FLOAT, Me+1, tag,  
                MPI_COMM_WORLD, &status);  
} else if (Me == NbPr - 1) {  
    MPI_Sendrecv(&CPU_V[idx][1][0], SIDE_COL, MPI_FLOAT, Me-1, tag,  
                &CPU_V[idx][0][0], SIDE_COL, MPI_FLOAT, Me-1, tag,  
                MPI_COMM_WORLD, &status);  
} else if (Me % 2 == 0) {  
    MPI_Sendrecv(&CPU_V[idx][SIDE_ROW-2][0], SIDE_COL, MPI_FLOAT, Me+1, tag,  
                &CPU_V[idx][SIDE_ROW-1][0], SIDE_COL, MPI_FLOAT, Me+1, tag,  
                MPI_COMM_WORLD, &status);  
    MPI_Sendrecv(&CPU_V[idx][1][0], SIDE_COL, MPI_FLOAT, Me-1, tag,  
                &CPU_V[idx][0][0], SIDE_COL, MPI_FLOAT, Me-1, tag,  
                MPI_COMM_WORLD, &status);  
} else if (Me % 2 == 1) {  
    MPI_Sendrecv(&CPU_V[idx][1][0], SIDE_COL, MPI_FLOAT, Me-1, tag,  
                &CPU_V[idx][0][0], SIDE_COL, MPI_FLOAT, Me-1, tag,  
                MPI_COMM_WORLD, &status);  
    MPI_Sendrecv(&CPU_V[idx][SIDE_ROW-2][0], SIDE_COL, MPI_FLOAT, Me+1, tag,  
                &CPU_V[idx][SIDE_ROW-1][0], SIDE_COL, MPI_FLOAT, Me+1, tag,  
                MPI_COMM_WORLD, &status);  
}  
}
```

Pas d'impact d'OpenMP

Ex. simple de code MPI+OpenMP (relax.)

MPI+OpenMP : Echange de frontières sur un anneau de CPU – v2-asynchrone

```
if (Me == 0) {  
    MPI_Irecv(&CPU_V[idx][SIDE_ROW-1][0], SIDE_COL, MPI_FLOAT, Me+1, tag,  
              MPI_COMM_WORLD, &RecvRequest[idx][1]);  
    MPI_Issend(&CPU_V[idx][SIDE_ROW-2][0], SIDE_COL, MPI_FLOAT, Me+1, tag,  
               MPI_COMM_WORLD, &SendRequest[idx][1]);  
    MPI_Wait(&RecvRequest[idx][1], &RecvStatus[1]);  
    MPI_Wait(&SendRequest[idx][1], &SendStatus[1]);  
} else if (Me == NbPr - 1) {  
    MPI_Irecv(&CPU_V[idx][0][0], SIDE_COL, MPI_FLOAT, Me-1, tag,  
              MPI_COMM_WORLD, &RecvRequest[idx][0]);  
    MPI_Issend(&CPU_V[idx][1][0], SIDE_COL, MPI_FLOAT, Me-1, tag,  
               MPI_COMM_WORLD, &SendRequest[idx][0]);  
    MPI_Wait(&RecvRequest[idx][0], &RecvStatus[0]);  
    MPI_Wait(&SendRequest[idx][0], &SendStatus[0]);  
} else {  
    MPI_Irecv(&CPU_V[idx][0][0], SIDE_COL, MPI_FLOAT, Me-1, tag,  
              MPI_COMM_WORLD, &RecvRequest[idx][0]);  
    MPI_Irecv(&CPU_V[idx][SIDE_ROW-1][0], SIDE_COL, MPI_FLOAT, Me+1, tag,  
              MPI_COMM_WORLD, &RecvRequest[idx][1]);  
    MPI_Issend(&CPU_V[idx][1][0], SIDE_COL, MPI_FLOAT, Me-1, tag,  
               MPI_COMM_WORLD, &SendRequest[idx][0]);  
    MPI_Issend(&CPU_V[idx][SIDE_ROW-2][0], SIDE_COL, MPI_FLOAT, Me+1, tag,  
               MPI_COMM_WORLD, &SendRequest[idx][1]);  
    MPI_Waitall(2, RecvRequest[idx], RecvStatus);  
    MPI_Waitall(2, SendRequest[idx], SendStatus);  
}
```

Pas d'impact d'OpenMP

Ex. simple de code MPI+OpenMP (relax.)

MPI+OpenMP : Echange de frontières sur un anneau de CPU – v3-async-pers.

```
if (Me == 0) {  
    for (int idx = 0; idx < 2; idx++) {  
        MPI_Ssend_init(&CPU_V[idx][SIDE_ROW-2][0], SIDE_COL, MPI_FLOAT, Me+1, 0,  
                        MPI_COMM_WORLD, &SendRequest[idx][1]);  
        MPI_Recv_init(&CPU_V[idx][SIDE_ROW-1][0], SIDE_COL, MPI_FLOAT, Me+1, 0,  
                        MPI_COMM_WORLD, &RecvRequest[idx][1]);  
    }  
}  
} else if (Me == NbPr-1) {  
    for (int idx = 0; idx < 2; idx++) {  
        MPI_Ssend_init(&CPU_V[idx][1][0], SIDE_COL, MPI_FLOAT, Me-1, 0,  
                        MPI_COMM_WORLD, &SendRequest[idx][0]);  
        MPI_Recv_init(&CPU_V[idx][0][0], SIDE_COL, MPI_FLOAT, Me-1, 0,  
                        MPI_COMM_WORLD, &RecvRequest[idx][0]);  
    }  
}  
} else {  
    for (int idx = 0; idx < 2; idx++) {  
        MPI_Ssend_init(&CPU_V[idx][1][0], SIDE_COL, MPI_FLOAT, Me-1, 0,  
                        MPI_COMM_WORLD, &SendRequest[idx][0]);  
        MPI_Ssend_init(&CPU_V[idx][SIDE_ROW-2][0], SIDE_COL, MPI_FLOAT, Me+1, 0,  
                        MPI_COMM_WORLD, &SendRequest[idx][1]);  
        MPI_Recv_init(&CPU_V[idx][0][0], SIDE_COL, MPI_FLOAT, Me-1, 0,  
                        MPI_COMM_WORLD, &RecvRequest[idx][0]);  
        MPI_Recv_init(&CPU_V[idx][SIDE_ROW-1][0], SIDE_COL, MPI_FLOAT, Me+1, 0,  
                        MPI_COMM_WORLD, &RecvRequest[idx][1]);  
    }  
}
```

1/3

Initialisation des schémas de communications persistants

Ex. simple de code MPI+OpenMP (relax.)

MPI+OpenMP : Echange de frontières sur un anneau de CPU – v3-async-pers.

```
if (Me == 0) {  
    MPI_Start(&RecvRequest[idx][1]);  
    MPI_Start(&SendRequest[idx][1]);  
    MPI_Wait(&RecvRequest[idx][1],&RecvStatus[1]);  
    MPI_Wait(&SendRequest[idx][1],&SendStatus[1]);  
}  
else if (Me == NbPr - 1) {  
    MPI_Start(&RecvRequest[idx][0]);  
    MPI_Start(&SendRequest[idx][0]);  
    MPI_Wait(&RecvRequest[idx][0],&RecvStatus[0]);  
    MPI_Wait(&SendRequest[idx][0],&SendStatus[0]);  
}  
else {  
    MPI_Start(&RecvRequest[idx][0]);  
    MPI_Start(&RecvRequest[idx][1]);  
    MPI_Start(&SendRequest[idx][0]);  
    MPI_Start(&SendRequest[idx][1]);  
    MPI_Waitall(2,RecvRequest[idx],RecvStatus);  
    MPI_Waitall(2,SendRequest[idx],SendStatus);  
}
```

2/3

Exploitation des schémas de communications persistants

Ex. simple de code MPI+OpenMP (relax.)

MPI+OpenMP : Echange de frontières sur un anneau de CPU – v3-async-pers.

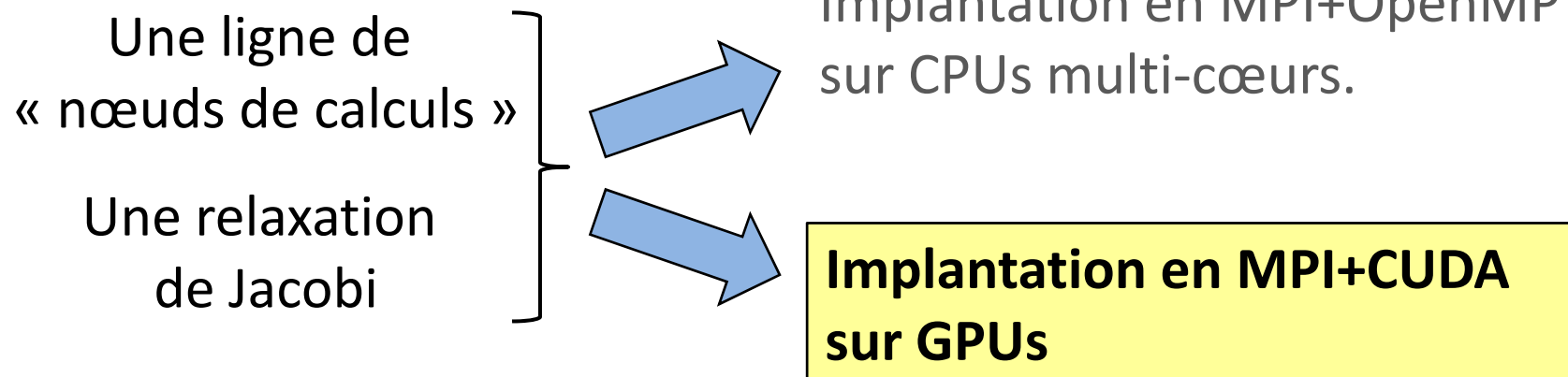
```
if (Me == 0) {  
    for (int idx = 0; idx < 2; idx++) {  
        MPI_Request_free(&SendRequest[idx][1]);  
        MPI_Request_free(&RecvRequest[idx][1]);  
    }  
}  
} else if (Me == NbPr-1) {  
    for (int idx = 0; idx < 2; idx++) {  
        MPI_Request_free(&SendRequest[idx][0]);  
        MPI_Request_free(&RecvRequest[idx][0]);  
    }  
}  
} else {  
    for (int idx = 0; idx < 2; idx++) {  
        MPI_Request_free(&SendRequest[idx][0]);  
        MPI_Request_free(&RecvRequest[idx][0]);  
        MPI_Request_free(&SendRequest[idx][1]);  
        MPI_Request_free(&RecvRequest[idx][1]);  
    }  
}
```

3/3

Libération des schémas de communications persistants

Pas d'impact d'OpenMP

Ex. simple de code MPI+OpenMP (relax.)



Impact d'OpenMP sur le code MPI ?

Impact de CUDA sur le code MPI ?

Ex. simple de code MPI+CUDA (relax.)

MPI+CUDA : calculs sur un nœud GPU

```
__global__ void GPUKernel_RelaxStepV2(int OI, int NI)      // This is a CUDA "kernel"    1/3
{
    int block_row, global_row;
    int block_col, global_col;
    float result;
    __shared__ float V[BLOCK_SIZE_Y][BLOCK_SIZE_X];

    // Compute the line and row processed by the thread
    block_row = threadIdx.y;
    global_row = block_row + blockIdx.y*BLOCK_SIZE_Y;
    block_col = threadIdx.x;
    global_col = block_col + blockIdx.x*BLOCK_SIZE_X;

    // If the associated grid element does not exist: end of the computation
    if (global_row >= SIDE_ROW || global_col >= SIDE_COL) {
        __syncthreads();

        // Get the value into the shared memory of the block and synchronize
    } else {
        V[block_row][block_col] = GPU_V[OI][global_row][global_col];
        __syncthreads();
    }
}
```

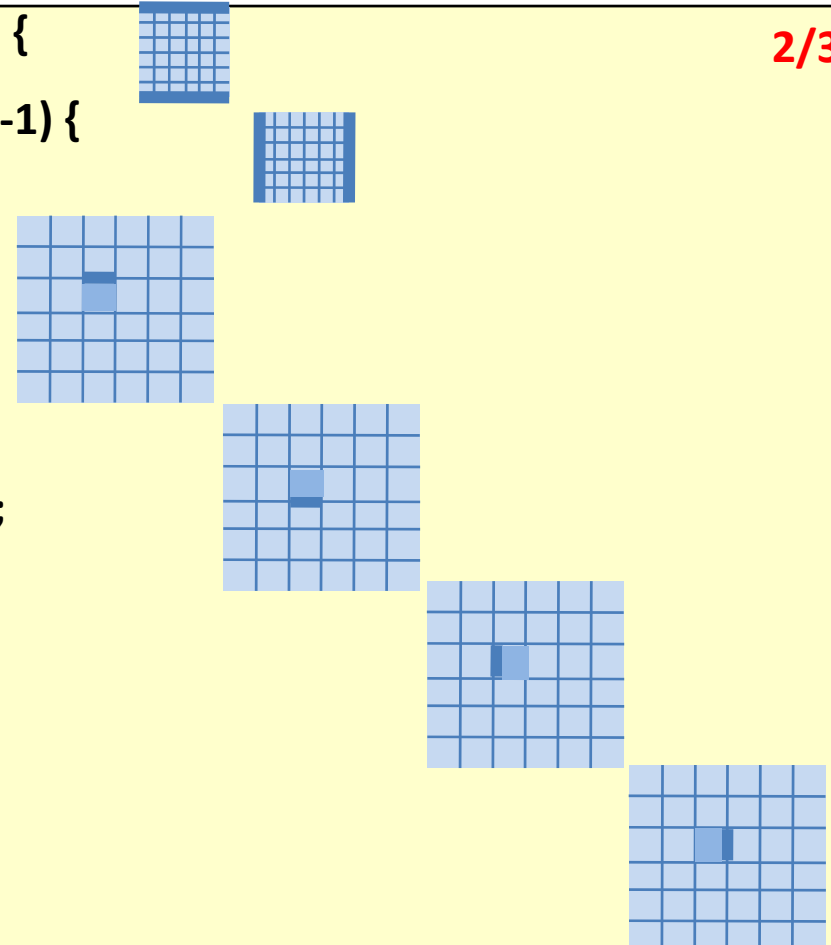
// Next -->

Ex. simple de code MPI+CUDA (relax.)

MPI+CUDA : calculs sur un nœud GPU

```
if (global_row == 0 || global_row == SIDE_ROW-1) {  
    result = V[block_row][block_col];  
} else if (global_col == 0 || global_col == SIDE_COL-1) {  
    result = V[block_row][block_col];  
} else {  
    float up, bottom, left, right;  
    if (block_row == 0)  
        up = GPU_V[0][global_row-1][global_col];  
    else  
        up = V[block_row-1][block_col];  
    if (block_row == BLOCK_SIZE_Y-1)  
        bottom = GPU_V[0][global_row+1][global_col];  
    else  
        bottom = V[block_row+1][block_col];  
    if (block_col == 0)  
        left = GPU_V[0][global_row][global_col-1];  
    else  
        left = V[block_row][block_col-1];  
    if (block_col == BLOCK_SIZE_X-1)  
        right = GPU_V[0][global_row][global_col+1];  
    else  
        right = V[block_row][block_col+1];  
    result = up + bottom + left + right;  
    result /= 4.0;  
}  
GPU_V[NI][global_row][global_col] = result;
```

2/3



Ex. simple de code MPI+CUDA (relax.)

MPI+CUDA : Exécution du *kernel*

```
int cycle;                                // Cycle counter.  
dim3 Dg, Db;                             // Grid and Block configurations  
  
// Set the grid and block configurations for the run of a kernel, and run the kernel.  
Db.x = BLOCK_SIZE_X;  
Db.y = BLOCK_SIZE_Y;  
Db.z = 1;  
  
Dg.x = SIDE_COL/BLOCK_SIZE_X;  
if (SIDE_COL % BLOCK_SIZE_X != 0)  
    Dg.x++;  
Dg.y = SIDE_ROW/BLOCK_SIZE_Y;  
if (SIDE_ROW % BLOCK_SIZE_Y != 0)  
    Dg.y++;  
Dg.z = 1;  
  
for (cycle = 0; cycle < NbCycles; cycle++) {  
    GPUKernel_RelaxStepV2<<< Dg,Db >>>(cycle%2,(cycle+1)%2); // - GPU computations  
    (*gpuCommFctPt)((cycle+1)%2,cycle);                                // - MPI comms.  
}
```

Début de coordination threads-CUDA / comm-MPI

Ex. simple de code MPI+CUDA (relax.)

MPI+CUDA : Echange de frontières sur un anneau de GPU – v1- synchrone

```
if (Me == 0) {
```

1/3

```
...  
} else if (Me == NbPr - 1) {
```

```
...  
} else if (Me % 2 == 0) {
```

Transferts données GPU → buffers CPU.
quand les execs. de kernels sont finies.

```
    cudaMemcpyFromSymbol(&BuffLineMinSend[0], GPU_V, sizeof(float)*(SIDE_COL),  
                        (idx*(GPU_PADDED_SIDE(SIDE_COL)))*(SIDE_ROW) +  
                        (GPU_PADDED_SIDE(SIDE_COL))*(1))*sizeof(float),  
                        cudaMemcpyDeviceToHost);
```

```
    cudaMemcpyFromSymbol(&BuffLineMaxSend[0], GPU_V, sizeof(float)*(SIDE_COL),  
                        (idx*(GPU_PADDED_SIDE(SIDE_COL)))*(SIDE_ROW) +  
                        (GPU_PADDED_SIDE(SIDE_COL))*(SIDE_ROW-2))*sizeof(float),  
                        cudaMemcpyDeviceToHost);
```

```
    MPI_Sendrecv(&BuffLineMaxSend[0], SIDE_COL, MPI_FLOAT, Me+1, tag,  
                &BuffLineMaxRecv[0], SIDE_COL, MPI_FLOAT, Me+1, tag,  
                MPI_COMM_WORLD, &status);
```

```
    MPI_Sendrecv(&BuffLineMinSend[0], SIDE_COL, MPI_FLOAT, Me-1, tag,  
                &BuffLineMinRecv[0], SIDE_COL, MPI_FLOAT, Me-1, tag,  
                MPI_COMM_WORLD, &status);
```

```
    cudaMemcpyToSymbol(GPU_V, &BuffLineMinRecv[0], sizeof(float)*(SIDE_COL),  
                      (idx*(GPU_PADDED_SIDE(SIDE_COL)))*(SIDE_ROW) +  
                      (GPU_PADDED_SIDE(SIDE_COL))*(0))*sizeof(float),  
                      cudaMemcpyHostToDevice);
```

```
    cudaMemcpyToSymbol(GPU_V, &BuffLineMaxRecv[0], sizeof(float)*(SIDE_COL),  
                      (idx*(GPU_PADDED_SIDE(SIDE_COL)))*(SIDE_ROW) +  
                      (GPU_PADDED_SIDE(SIDE_COL))*(SIDE_ROW-1))*sizeof(float),  
                      cudaMemcpyHostToDevice);
```

```
} else if (Me % 2 == 1) {
```

On transfère des
buffers de frontières
alloués sur le CPU.

Transferts buffers CPU → données GPU.
quand les comms. sont finies.

```
}  
...  
}
```

→ Impact de CUDA (oui!)

Ex. simple de code MPI+CUDA (relax.)

MPI+CUDA : Echange de frontières sur un anneau de GPU – v2- asynchrone

```
if (Me == 0) {  
    ...  
} else if (Me == NbPr - 1) {  
    ...  
} else {  
    MPI_Irecv(&BuffLineMinRecv[0],SIDE_COL,MPI_FLOAT,Me-1,tag,  
              MPI_COMM_WORLD,&RecvRequest[0]);  
    MPI_Irecv(&BuffLineMaxRecv[0],SIDE_COL,MPI_FLOAT,Me+1,tag,  
              MPI_COMM_WORLD,&RecvRequest[1]);  
    cudaMemcpyFromSymbol(&BuffLineMinSend[0],GPU_V,sizeof(float)*(SIDE_COL),  
                        (idx*(GPU_PADDED_SIDE(SIDE_COL))*(SIDE_ROW) +  
                         (GPU_PADDED_SIDE(SIDE_COL))*(1))*sizeof(float),  
                        cudaMemcpyDeviceToHost);  
    cudaMemcpyFromSymbol(&BuffLineMaxSend[0],GPU_V,sizeof(float)*(SIDE_COL),  
                        (idx*(GPU_PADDED_SIDE(SIDE_COL))*(SIDE_ROW) +  
                         (GPU_PADDED_SIDE(SIDE_COL))*(SIDE_ROW-2))*sizeof(float),  
                        cudaMemcpyDeviceToHost);  
    MPI_Isend(&BuffLineMinSend[0],SIDE_COL,MPI_FLOAT,Me-1,tag,  
              MPI_COMM_WORLD,&SendRequest[0]);  
    MPI_Isend(&BuffLineMaxSend[0],SIDE_COL,MPI_FLOAT,Me+1,tag,  
              MPI_COMM_WORLD,&SendRequest[1]);  
    MPI_Waitall(2,RecvRequest,RecvStatus);  
    cudaMemcpyToSymbol(GPU_V,&BuffLineMinRecv[0],sizeof(float)*(SIDE_COL),  
                      (idx*(GPU_PADDED_SIDE(SIDE_COL))*(SIDE_ROW) +  
                       (GPU_PADDED_SIDE(SIDE_COL))*(0))*sizeof(float),  
                      cudaMemcpyHostToDevice);  
    cudaMemcpyToSymbol(GPU_V,&BuffLineMaxRecv[0],sizeof(float)*(SIDE_COL),  
                      (idx*(GPU_PADDED_SIDE(SIDE_COL))*(SIDE_ROW) +  
                       (GPU_PADDED_SIDE(SIDE_COL))*(SIDE_ROW-1))*sizeof(float),  
                      cudaMemcpyHostToDevice);  
    MPI_Waitall(2,SendRequest,SendStatus);  
}
```

1/3

On reçoit dans des buffers de frontières alloués sur le CPU.
On reçoit dans des buffers de frontières alloués sur le CPU.
données GPU → buffers CPU.
quand execs.
kernels finies.

On envoie des buffers de frontières alloués sur le CPU.

Attente données reçues
buffers CPU → données GPU.
quand commis.
terminées.

Attente données envoyées (pas optimal)
→ Impact de CUDA (oui!)

Ex. simple de code MPI+CUDA (relax.)

MPI+CUDA : Echange de frontières sur un anneau de GPU – v3-async-pers.

```
if (Me == 0) {  
    MPI_Ssend_init(&BuffLineMaxSend[0],SIDE_COL,MPI_FLOAT,Me+1,0,  
                  MPI_COMM_WORLD,&SendRequest[1]);  
    MPI_Recv_init(&BuffLineMaxRecv[0],SIDE_COL,MPI_FLOAT,Me+1,0,  
                  MPI_COMM_WORLD,&RecvRequest[1]);  
} else if (Me == NbPr-1) {  
    MPI_Ssend_init(&BuffLineMinSend[0],SIDE_COL,MPI_FLOAT,Me-1,0,  
                  MPI_COMM_WORLD,&SendRequest[0]);  
    MPI_Recv_init(&BuffLineMinRecv[0],SIDE_COL,MPI_FLOAT,Me-1,0,  
                  MPI_COMM_WORLD,&RecvRequest[0]);  
} else {  
    MPI_Ssend_init(&BuffLineMinSend[0],SIDE_COL,MPI_FLOAT,Me-1,0,  
                  MPI_COMM_WORLD,&SendRequest[0]);  
    MPI_Ssend_init(&BuffLineMaxSend[0],SIDE_COL,MPI_FLOAT,Me+1,0,  
                  MPI_COMM_WORLD,&SendRequest[1]);  
    MPI_Recv_init(&BuffLineMinRecv[0],SIDE_COL,MPI_FLOAT,Me-1,0,  
                  MPI_COMM_WORLD,&RecvRequest[0]);  
    MPI_Recv_init(&BuffLineMaxRecv[0],SIDE_COL,MPI_FLOAT,Me+1,0,  
                  MPI_COMM_WORLD,&RecvRequest[1]);  
}
```

1/3

Initialisation des schémas de communications persistants

On planifie des transferts de « buffers de frontières » alloués sur le CPU

→ Impact de CUDA

Ex. simple de code MPI+CUDA (relax.)

MPI+CUDA : Echange de frontières sur un anneau de GPU – v3-async-pers.

```
if (Me == 0) {  
    ...  
} else if (Me == NbPr - 1) {  
    ...  
} else {  
    MPI_Start(&RecvRequest[0]);  
    MPI_Start(&RecvRequest[1]);  
    cudaMemcpyFromSymbol(&BuffLineMinSend[0],GPU_V,  
                        sizeof(float)*(SIDE_COL),  
                        (idx*(GPU_PADDED_SIDE(SIDE_COL))*(SIDE_ROW) +  
                         (GPU_PADDED_SIDE(SIDE_COL))*(1))*sizeof(float),  
                        cudaMemcpyDeviceToHost);  
    cudaMemcpyFromSymbol(&BuffLineMaxSend[0],GPU_V,  
                        sizeof(float)*(SIDE_COL),  
                        (idx*(GPU_PADDED_SIDE(SIDE_COL))*(SIDE_ROW) +  
                         (GPU_PADDED_SIDE(SIDE_COL))*(SIDE_ROW-2))*sizeof(float),  
                        cudaMemcpyDeviceToHost);  
    MPI_Start(&SendRequest[0]);  
    MPI_Start(&SendRequest[1]);  
    MPI_Waitall(2,RecvRequest,RecvStatus);  
    cudaMemcpyToSymbol(...);  
    cudaMemcpyToSymbol(...);  
    MPI_Waitall(2,SendRequest,SendStatus);  
}  
2/3
```

Exploitation des schémas de communications persistants

Transferts données GPU → buffers CPU.
quand les execs. de *kernels* sont finies.

Transferts buffers CPU → données GPU.
quand les comms. sont finies.

→ Impact de CUDA (oui!)

Ex. simple de code MPI+CUDA (relax.)

MPI+CUDA : Echange de frontières sur un anneau de GPU – v3-async-pers.

```
if (Me == 0) {  
    MPI_Request_free(&SendRequest[1]);  
    MPI_Request_free(&RecvRequest[1]);  
} else if (Me == NbPr-1) {  
    MPI_Request_free(&SendRequest[0]);  
    MPI_Request_free(&RecvRequest[0]);  
} else {  
    MPI_Request_free(&SendRequest[0]);  
    MPI_Request_free(&RecvRequest[0]);  
    MPI_Request_free(&SendRequest[1]);  
    MPI_Request_free(&RecvRequest[1]);  
}
```

3/3

Libération des schémas de communications persistants

Plan

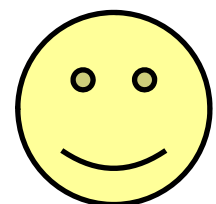
1. Principes de parallélisation sur cluster de CPU+GPU
2. Mécanismes de compilation
3. Ex 1 : application distribuée *embarrassingly parallel*
4. Ex 2 : application distribuée fortement couplée
5. Parallélisation simultanée sur CPUs et GPUs
6. Performances calculatoires
7. Considérations énergétiques
8. Conclusion

Exemple de code MPI+OpenMP+CUDA

Un thread OpenMP appelle les routines CUDA, les autres traitent les tâches sur CPU.

Utilisation de « **parallel sections** » plutôt que de « **parallel for** ».

Ex : succès pour une *analyse de sous-sol*
réalisée à la **CGGVeritas**.



Ça marche

Plan

1. Principes de parallélisation sur cluster de CPU+GPU
2. Mécanismes de compilation
3. Ex 1 : application distribuée *embarrassingly parallel*
4. Ex 2 : application distribuée fortement couplée
5. Parallélisation simultanée sur CPUs et GPUs
6. Performances
7. Considérations énergétiques
8. Conclusion

Performances (1)

Comparaison en vitesse à un pgm séquentiel sur 1 cœur CPU

- Une **première méthode** de quantification les performances.
- En général on exhibe d'excellents résultats.
- Ex : pricer d'option exotiques Européennes

SU(16 nœuds GPU vs 1 cœur CPU) = 1636



Comparaison en vitesse à un pgm parallèle sur 1 nœud CPU multicoeurs

- Une méthode plus proche des préoccupations de l'utilisateur
- Les résultats chutent ☺
- Ex pour le pricer comparé à un CPU dual-coeur programmé en OpenMP:

SU(16 nœuds GPU vs 1 noeud CPU dual-coeur) = 707

**Chute de
plus de 50% (!)**

Performances (2)

Comparaison en vitesse à un pgm // sur 1 cluster de CPU multicoeurs

- La méthode qui intéresse l'utilisateur d'un cluster de CPUs
- Les résultats chutent 😊
- Ex pour le pricer comparé à un cluster de CPU dual-coeur avec MPI+OpenMP:

SU(16 nœuds GPU vs 16 noeuds CPU dual-coeur) = 48

Comparaison de la précision des résultats

- Sur une nouvelle architecture, avec de nouvelles bibliothèques de calculs
→ il convient de comparer/vérifier la précision des calculs.
- Ex pour le pricer :
Pas de différences (précision identique avec les mêmes calculs)
Inutile de calculer plus de trajectoires de Monte-Carlo
- Ex pour un solver d'EDP :
Des différences : problème sensibles aux arrondis, à l'enchaînement des op...
Quel programme sur cluster de GPUs pour des résultats satisfaisants ?

Performances (3)

Comparaison en énergie à un pgm // sur 1 cluster de CPU multicoeurs

- Celui qui paye les calculs peut y être très sensible ☺
- Le pgm le plus rapide est-il le plus économique ?
- Que prendre en compte pour mesurer la consommation énergétique ?
 - ✓ les nœuds utilisés
 - ✓ le switch du cluster Partiellement ou en totalité ?
 - ✓ la climatisation ? Si on peut isoler la partie concernant le cluster...
 - ✓ les serveurs de fichiers ?
- Ex pour le pricer comparé à un cluster de CPU dual cœur avec MPI+OpenMP:

Cluster de 16 nœuds CPU dual cœur (dans un cluster de 256 nœuds) : 934.8Wh

en 992s

Cluster de 16 nœuds CPU+GPU

: 16.4Wh

en 21s

nœuds utilisés + switch en totalité (cluster utilisé en mode exclusif)

rmq : le switch dissipe 1720W

→ Gain énergétique d'un facteur **57**, et gain en temps d'un facteur **48**

Performances (4)

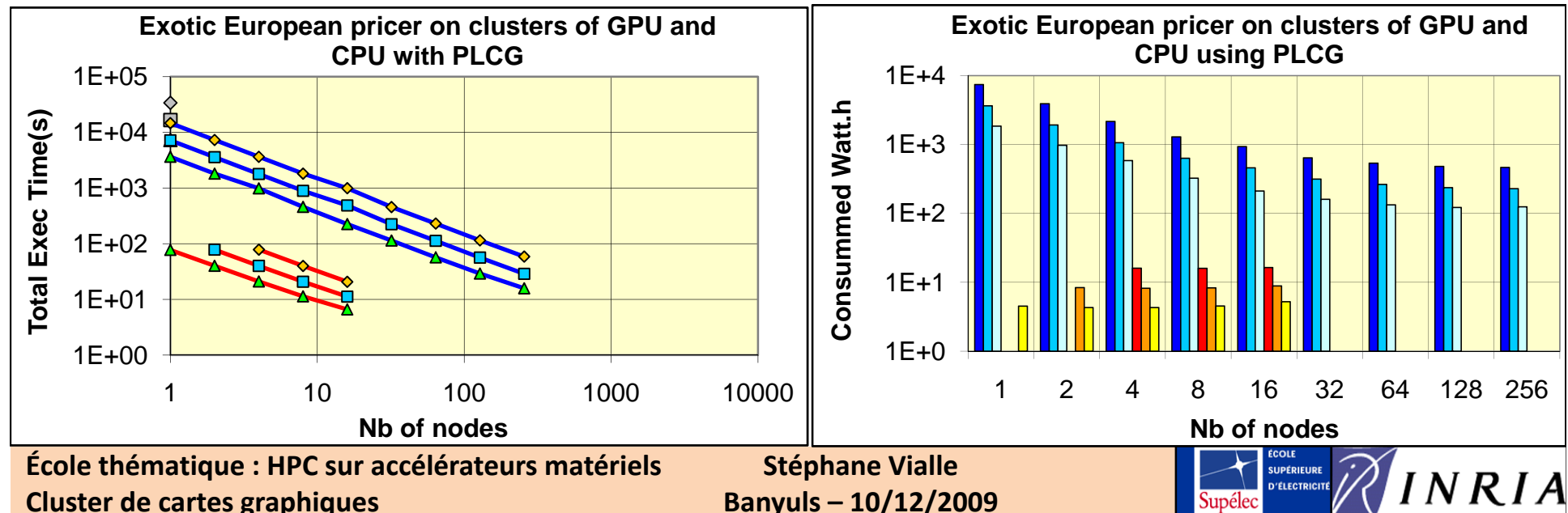
Point de fonctionnement optimal de chaque système (archi + pgm) ?

Faut-il comparer N nœuds CPU avec N nœuds GPU ?

Les points de fonctionnement optimaux pourraient être différents.

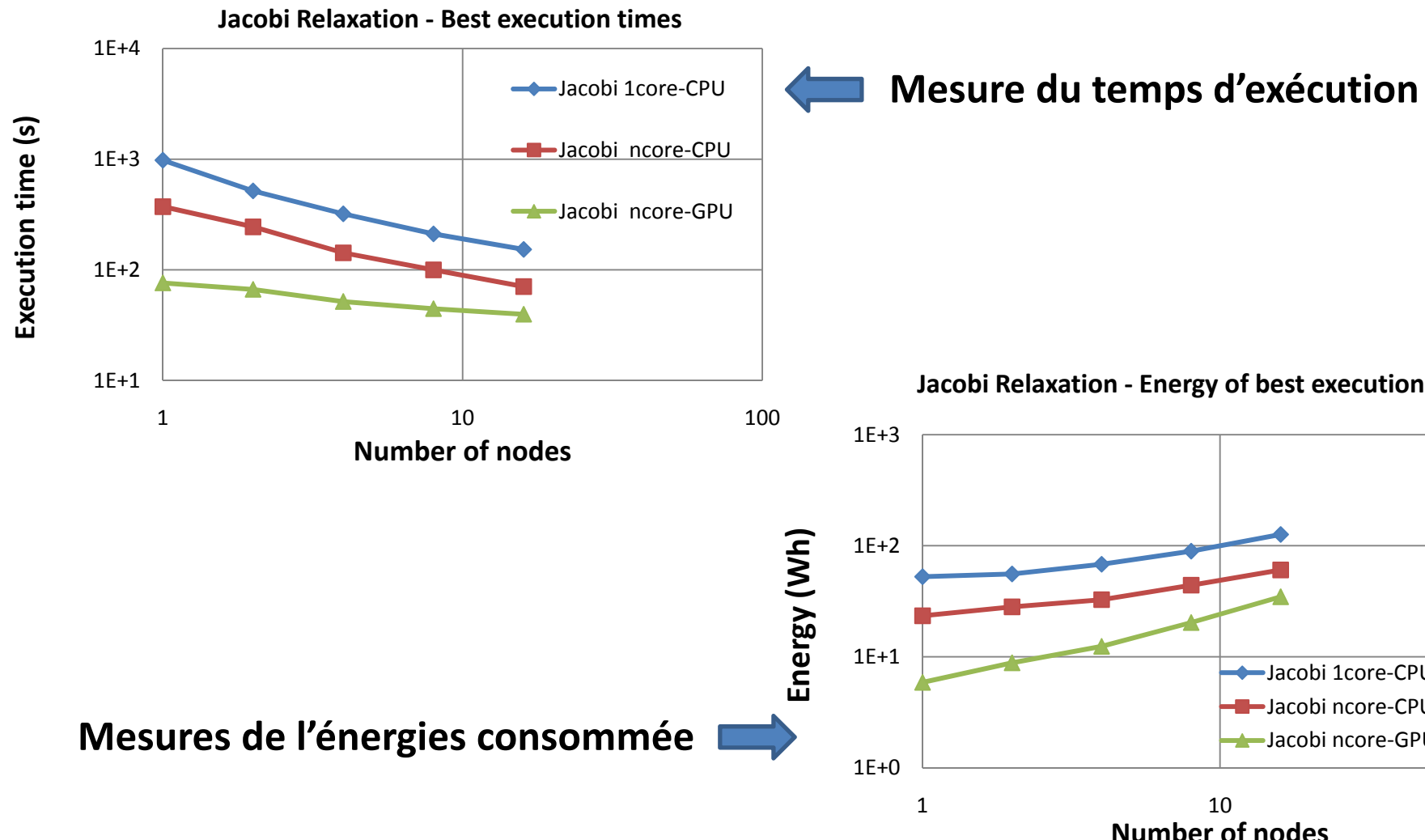
→ Comparer les **courbes de performances** des deux clusters

Ex du pricer : sans surprises car « *embarrassingly parallel* »



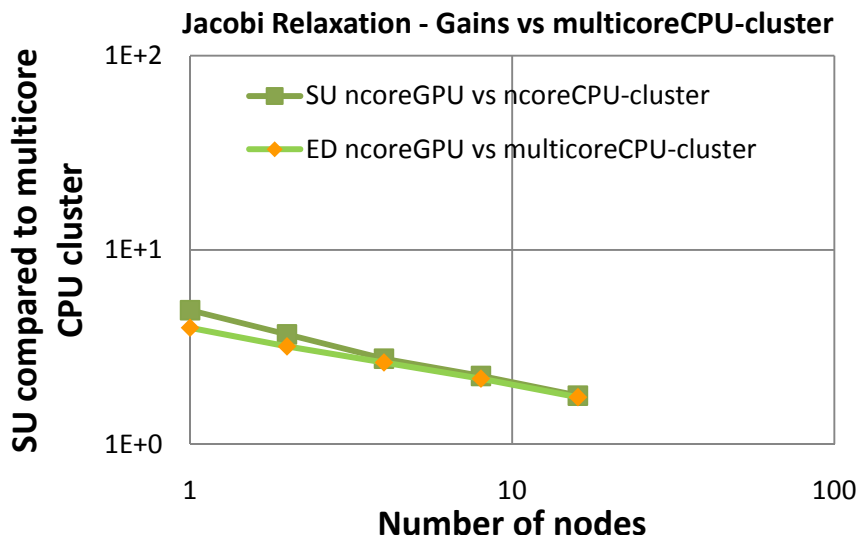
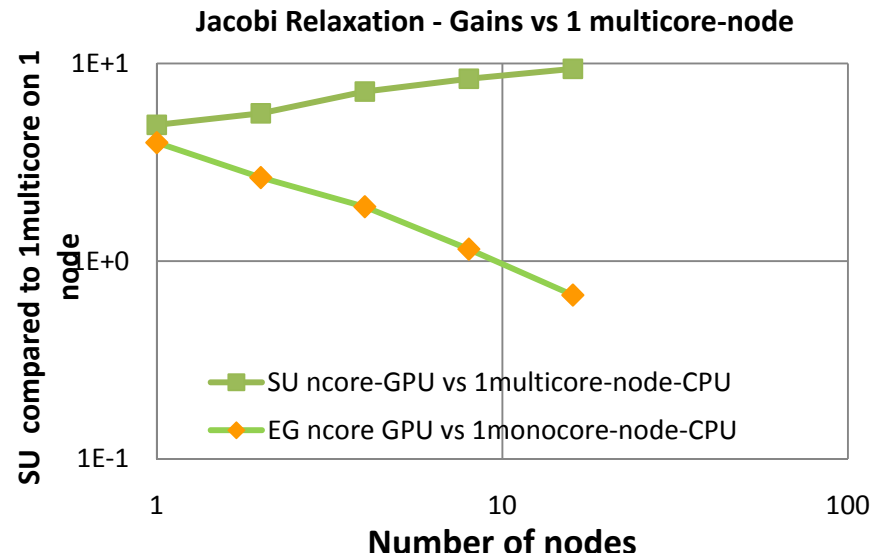
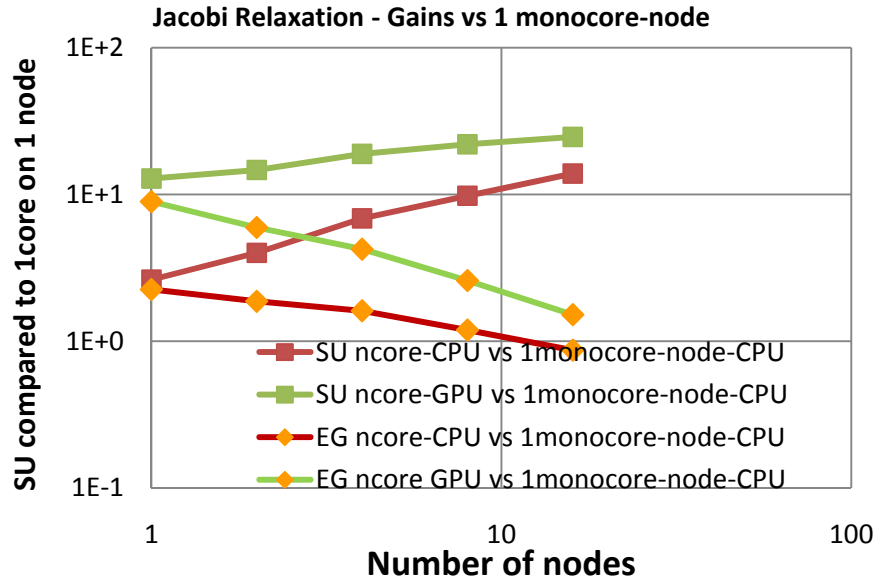
Performances (5)

Performances de la relaxation de Jacobi (pb fortement couplé)



Performances (5)

Performances de la relaxation de Jacobi (pb fortement couplé)



Bilan :

- problème distribué fortement couplé,
- bon comportement sur cluster de CPUs,
- bon comportement sur cluster de GPUs,
- comportements de plus en plus proches quand le nombre de nœuds augmente.

→ Résultats très différents du cas
faiblement couplé.

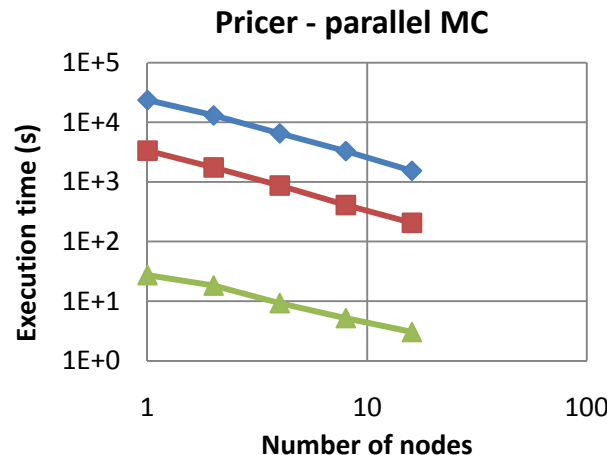
Plan

1. Principes de parallélisation sur cluster de CPU+GPU
2. Mécanismes de compilation
3. Ex 1 : application distribuée *embarrassingly parallel*
4. Ex 2 : application distribuée fortement couplée
5. Parallélisation simultanée sur CPUs et GPUs
6. Performances
- 7. Considérations énergétiques**
8. Conclusion

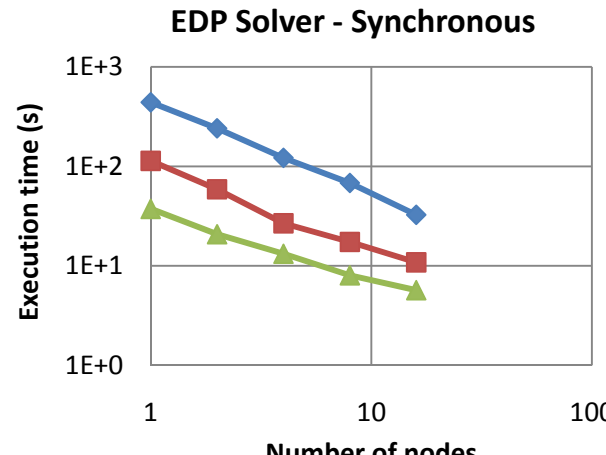
Considérations énergétiques

- Les GPUs consomment autant/plus de *puissance* (Watts) que les CPUs
 - *la puissance consommée d'un cluster de CPU+GPU augmentera (vs un cluster de CPUs)*
 - *attention : souscrire plus de puissance coûte plus cher!*
- En réduisant les temps d'exécution on peut consommer :
 - ✓ *moins d'énergie* (WattHeures) : plus rapide & plus éco
 - ✓ *autant d'énergie* (WattHeures) : plus rapide
 - ✓ *plus d'énergie* (WattHeures) : plus rapide & moins éco
- Les *performances relatives* d'un cluster de CPU multi-cœurs et d'un cluster de GPUs peuvent varier avec le nombre de nœuds, la taille du problème, l'algorithme...

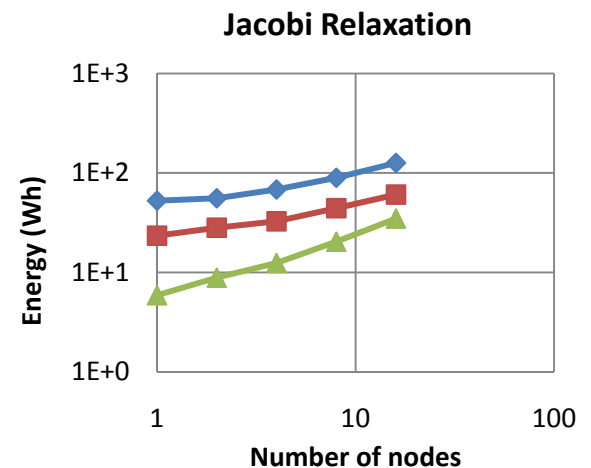
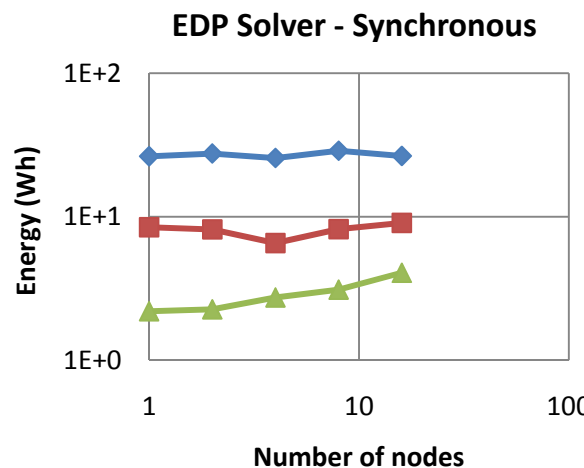
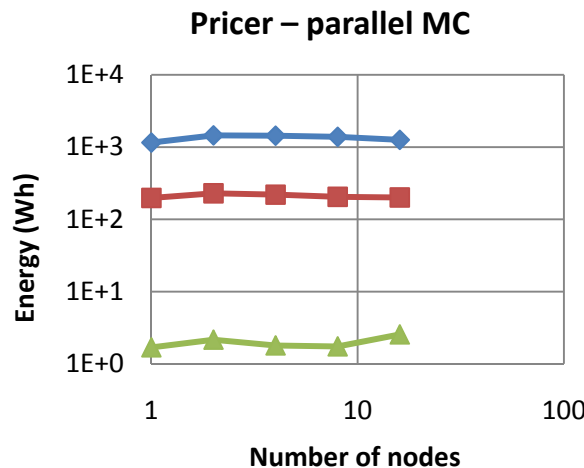
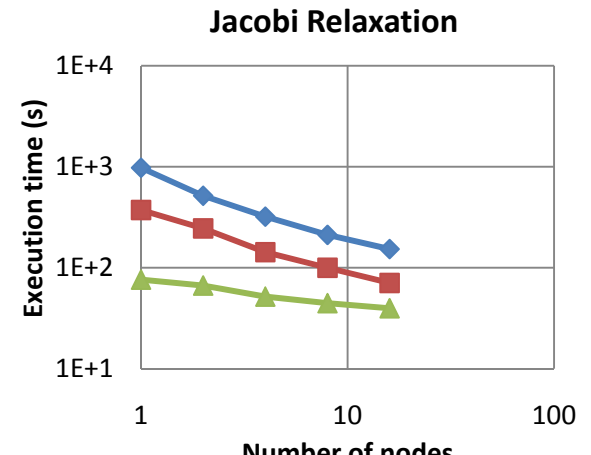
Considérations énergétiques



Monocore-CPU cluster



Multicore-CPU cluster

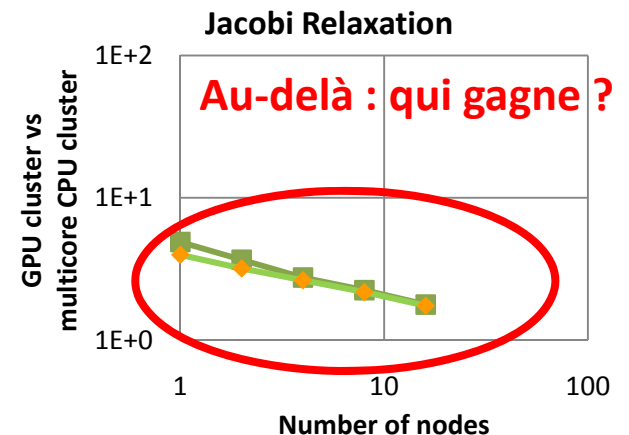
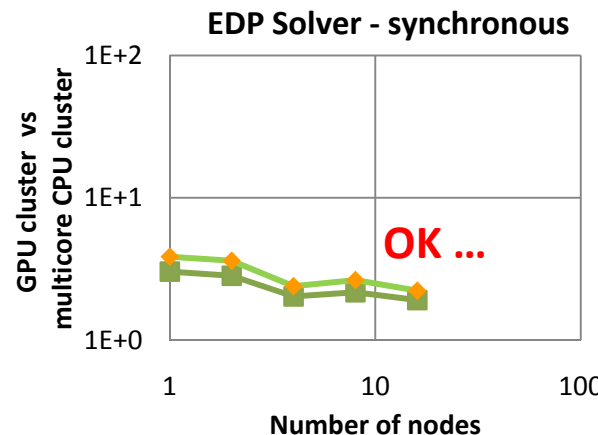
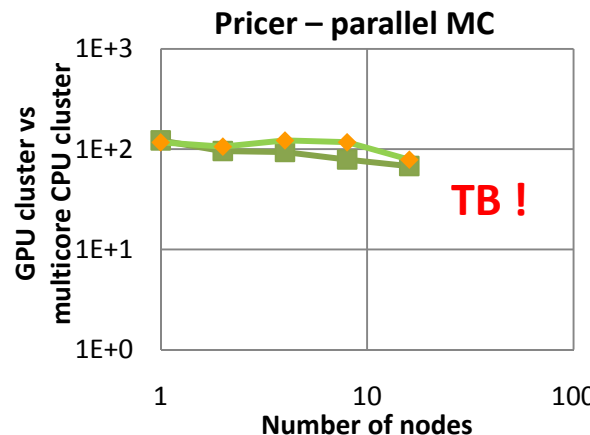


Considérations énergétiques

Quel est le cluster le plus intéressant ?

Gains : cluster de GPU *vs* cluster de CPU multi-cœurs

 Energetic gain
 Speedup



- Est-ce que l'utilisation des GPUs est toujours intéressante ?
- Se méfier des seules comparaisons à 1 cœur CPU ...

Dans le futur : expérience sur plus gros systèmes (ex: *Titane* (CCRT))

Plan

1. Principes de parallélisation sur cluster de CPU+GPU
2. Mécanismes de compilation
3. Ex 1 : application distribuée *embarrassingly parallel*
4. Ex 2 : application distribuée fortement couplée
5. Parallélisation simultanée sur CPUs et GPUs
6. Performances
7. Considérations énergétiques
8. Conclusion

Conclusion

Cluster de CPUs mono-coeurs → MPI

Cluster de CPUs multi-coeurs → MPI ou

MPI + threads-CPU

Cluster de CPUs multi-coeurs + GPUs *many-coeurs* → MPI + threads-GPU ou
MPI + threads-CPU +

threads-GPU

Plus génériquement :

Clusters hétérogènes (ou hybrides) : noeuds "CPU+accélérateurs"
accélérateurs : unités SSE, GPU, Larabee, Cell, FPGA...

Algorithmique parallèle multi-grains

Programmation parallèle multi-paradigmes

A ce jour : complexité de développement croissante et
performances souvent mais pas toujours croissantes

Perspectives

- Le TOP500 contient des machines hétérogènes dans les 5 premières places
- "On ne passera pas l'Exaflops sans des architectures hétérogènes"...
- "L'amélioration des performances énergétiques passe par l'utilisation d'accélérateurs" ...

La première machine du Top500 est passé de 1.0 à 1.7 PFlops et de 2.3 à 6.9 MWatts.

Il semble difficile de passer l'Exaflops avec cette démarche.

En Europe : Crédit du COST-IC0804 sur "Energy efficiency in large scale distributed systems"

En Amérique : Crédit du "Energy Efficient High Performance Computing Working Group"

Perspectives

- L'architecture des GPUs évolue et devient de plus en plus souple
- Il existe des extensions de C pour programmer des FPGAs...
- Conception de nouveaux modèles de programmation et de nouveaux environnements de développement pour architectures hétérogènes.
Outils de CAPS entreprise, recherches à EDF R&D/INRIA/SUPELEC, ...
- Conception de mécanisme "d'auto-tunning" pour réaliser les optimisations dans les architectures très (trop) complexes.
- Recherche d'architectures, de bibliothèques et de codes optimisés en vitesse ou en énergie ou visant un compromis ?

Cluster de cartes graphiques

Questions ?

Stéphane Vialle

SUPELEC équipe IMS & EPI AlGorille



Avec l'aide de L. Abbas-Turki, T. Jost , W. Kirshenmann, P. Mercier, S. Contassot-Vivier, L. Plagne